

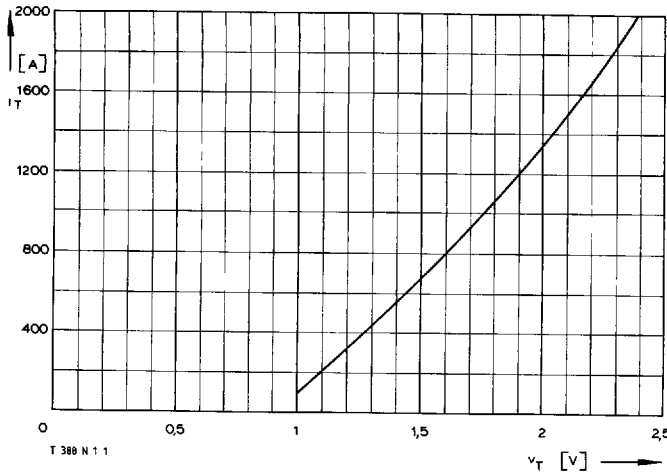
## T 388 N

T-25-19

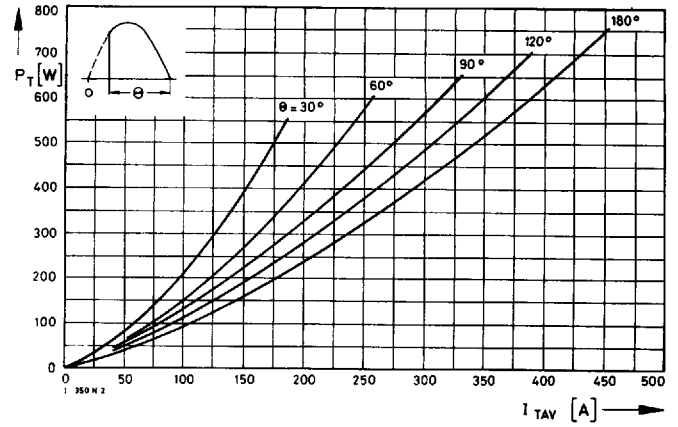
Typenreihe/Type range	T 388 N	400*	600	800	1000	1100	1200	1400	1600	1800*	
<b>Elektrische Eigenschaften</b>		<b>Electrical properties</b>									
<u>Höchstzulässige Werte</u>		<u>Maximum permissible values</u>									
$V_{DRM}, V_{RRM}$	Periodische Vorwärts- und Rückwärts-Spitzensperrspannung								400...1800	V	
$I_{TRMSM}$	Effektiver Durchlaßstrom								730	A	
$I_{TAVM}$	Dauergrenzstrom								$t_C = 85^\circ\text{C}$ 388	A	
$I_{TRM}$	Periodischer Spitzenstrom								$t_C = 72^\circ\text{C}$ 465	A	
$I_{TSM}$	Stoßstrom-Grenzwert								4400	A	
$\int i^2 dt$	Grenzlastintegral								$t_p = 10 \text{ ms}, t_{vj} \leq 45^\circ\text{C}$ 7200	A	
$(di/dt)_{cr}$	Kritische Stromsteilheit								$t_p = 10 \text{ ms}, t_{vj} = t_{vj \text{ max}}$ 6400	A	
$(dv/dt)_{cr}$	Kritische Spannungssteilheit								$t_p = 10 \text{ ms}, t_{vj} \leq 45^\circ\text{C}$ 260000	A <sup>2</sup> s	
									$t_p = 10 \text{ ms}, t_{vj} = t_{vj \text{ max}}$ 205000	A <sup>2</sup> s	
									nicht periodisch/non repetitive 600	A/ $\mu\text{s}$	
									Dauerbetrieb/continuous operation, $i_{TM} = 1200 \text{ A}$ , $V_L = 10 \text{ V}, i_G = 1 \text{ A}, di_G/dt = 1 \text{ A}/\mu\text{s}$ 120	A/ $\mu\text{s}$	
									$V_D = 67\% V_{DRM}, t_{vj} = t_{vj \text{ max}}$ 5. Kennbuchstabe/5th letter C	400	V/ $\mu\text{s}$
									5. Kennbuchstabe/5th letter F	1000	V/ $\mu\text{s}$
<u>Charakteristische Werte</u>		<u>Characteristic values</u>									
$V_T$	Obere Durchlaßspannung								$t_{vj} = t_{vj \text{ max}}, i_T = 1500 \text{ A}$ 2,1	V	
$V_{T(O)}$	Schleusenspannung								$t_{vj} = t_{vj \text{ max}}$ 0,9	V	
$r_T$	Ersatzwiderstand								$t_{vj} = t_{vj \text{ max}}$ 0,75	m $\Omega$	
$V_{GT}$	Obere Zündspannung								$t_{vj} = 25^\circ\text{C}, V_D = 6 \text{ V}, R_A = 5 \Omega$ 2	V	
$I_{GT}$	Oberer Zündstrom								$t_{vj} = 25^\circ\text{C}, V_D = 6 \text{ V}, R_A = 5 \Omega$ 200	mA	
	Unterer Zündstrom								$t_{vj} = t_{vj \text{ max}}, V_D = 6 \text{ V}, R_A = 5 \Omega$ 10	mA	
$I_H$	Oberer Haltestrom								$t_{vj} = 25^\circ\text{C}, V_D = 6 \text{ V}, R_A = 5 \Omega$ 300	mA	
$I_L$	Oberer Einraststrom								$t_{vj} = 25^\circ\text{C}, V_D = 6 \text{ V}, R_{AK} \geq 10 \Omega$ 1,2	A	
$I_D, I_R$	Oberer Vorwärts- und Rückwärts-Sperrstrom								$i_G = 1 \text{ A}, di_G/dt = 1 \text{ A}/\mu\text{s}, t_g = 20 \mu\text{s}$ $t_{vj} = t_{vj \text{ max}}, V_D = V_{DRM} (V_R = V_{RRM})$ 50	mA	
$t_{gd}$	Oberer Zündverzög								$i_G = 1 \text{ A}, di_G/dt = 2 \text{ A}/\mu\text{s}$ 4	$\mu\text{s}$	
$t_q$	Typische Freiwerdezeit								Prüfbedingungen/test conditions 3.4.3.4 220	$\mu\text{s}$	
$C_{null}$	Typische Nullkapazität								$t_{vj} = 25^\circ\text{C}, f = 10 \text{ kHz}$ 4	nF	
<b>Thermische Eigenschaften</b>		<b>Thermal properties</b>									
$R_{thJC}$	Innerer Wärmewiderstand für beidseitige Kühlung								$\theta = 180^\circ\text{el, sinus}$ DC	$\leq 0,068^\circ\text{C}/\text{W}$ $\leq 0,065^\circ\text{C}/\text{W}$	
$R_{thJC(A)}$	für anodenseitige Kühlung								$\theta = 180^\circ\text{el, sinus}$ DC	$\leq 0,113^\circ\text{C}/\text{W}$ $\leq 0,11^\circ\text{C}/\text{W}$	
$R_{thJC(K)}$	für kathodenseitige Kühlung								$\theta = 180^\circ\text{el, sinus}$ DC	$\leq 0,159^\circ\text{C}/\text{W}$ $\leq 0,156^\circ\text{C}/\text{W}$	
$R_{thCK}$	Wärmewiderstand für einen Übergang zwischen Gehäuse und Kühlkörper									0,02 $^\circ\text{C}/\text{W}$	
$t_{vj \text{ max}}$	Höchstzul. Sperrschichttemperatur									125 $^\circ\text{C}$	
$t_{vj \text{ op}}$	Betriebstemperatur									- 40 $^\circ\text{C}$ ...+125 $^\circ\text{C}$	
$t_{stg}$	Lagertemperatur									- 40 $^\circ\text{C}$ ...+140 $^\circ\text{C}$	
<b>Mechanische Eigenschaften</b>		<b>Mechanical properties</b>									
G	Gewicht									100 g	
F	Anpreßkraft									5,5...8 kN	
	Maßbild								DIN 41814-152 A 4	Seite/page 240	
	Kriechstrecke									17 mm	
	Feuchteklasse								DIN 40040	C	
	Schüttelfestigkeit								f = 50 Hz	5x9,81 m/s <sup>2</sup>	

\* Für größere Stückzahlen bitte Liefertermin erfragen/Delivery for larger quantities on request

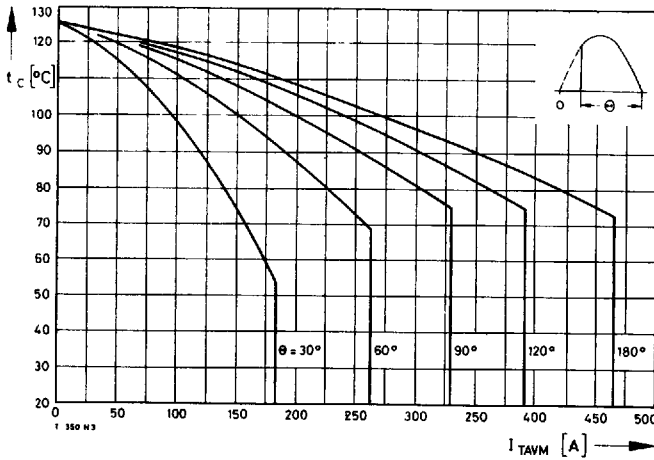
T-25-19



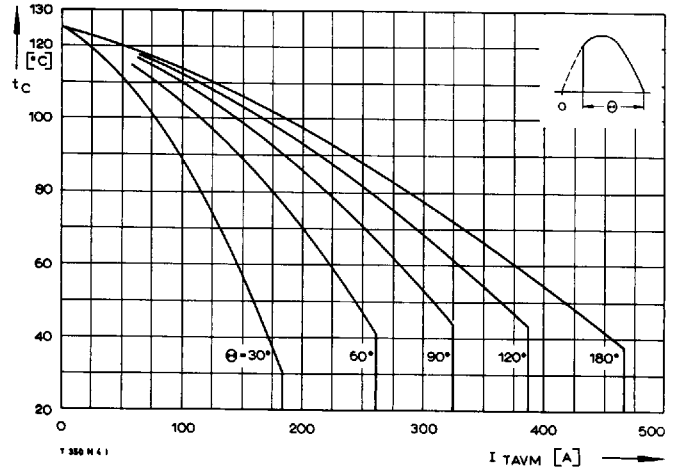
Bild/Fig. 1  
Grenzdurchlaßkennlinie bei  $t_{vj \max}$   
Max. on-state characteristic at  $t_{vj \max}$



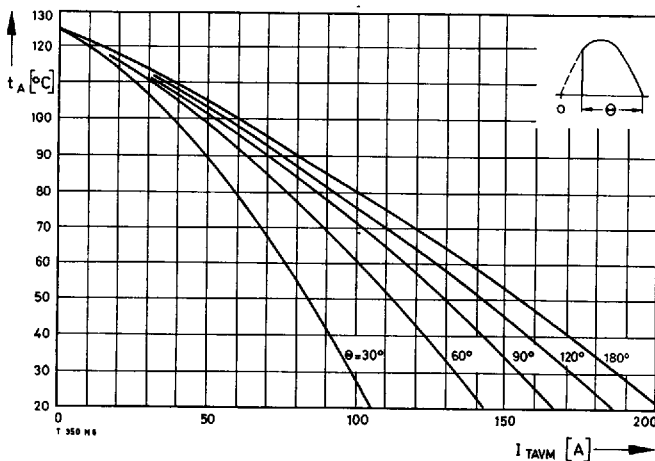
Bild/Fig. 2  
Durchlaßverlustleistung  $P_T$ /On-state power loss  $P_T$   
Parameter: Stromflußwinkel  $\Theta$ /current conduction angle  $\Theta$



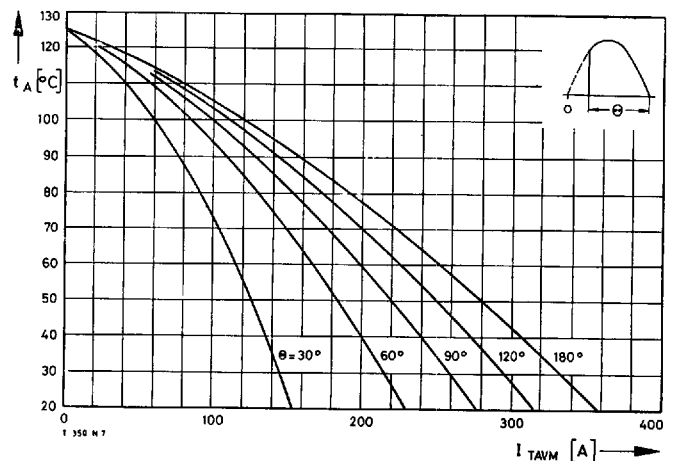
Bild/Fig. 3  
Höchstzulässige Gehäusetemperatur  $t_c$  bei **beidseitiger** Kühlung  
Maximum allowable case temperature  $t_c$  at **two-sided** cooling



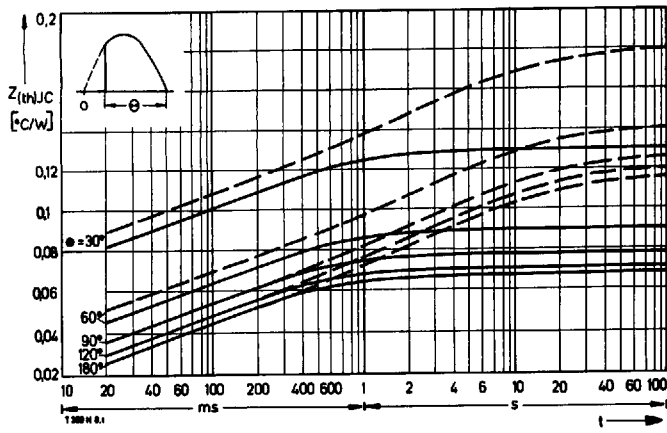
Bild/Fig. 4  
Höchstzulässige Gehäusetemperatur  $t_c$  bei **anodenseitiger** Kühlung  
Maximum allowable case temperature  $t_c$  at **anode sided** cooling



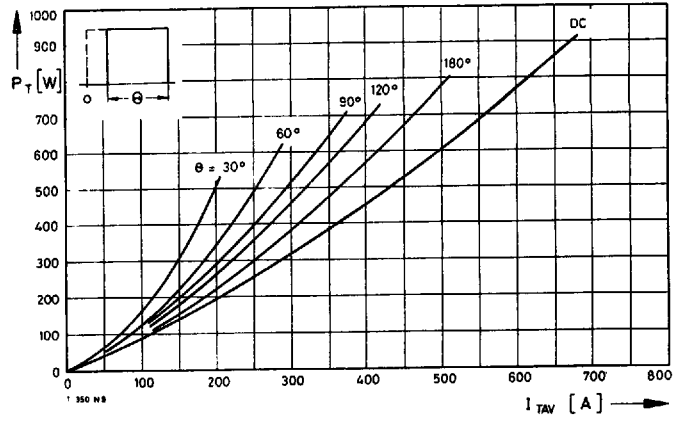
Bild/Fig. 5  
Höchstzulässige Kühlmitteltemperatur  $t_A$  bei beidseitiger **Luftselbstkühlung**,  
Kühlkörper **K0.36 S**.  
Maximum allowable cooling medium temperature  $t_A$  at **natural** two-sided cooling,  
heatsink type **K0.36 S**.



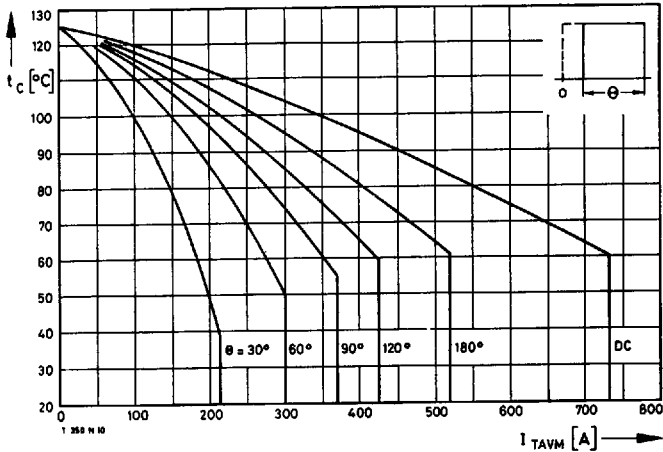
Bild/Fig. 6  
Höchstzulässige Kühlmitteltemperatur  $t_A$  bei **verstärkter** beidseitiger Luftkühlung,  
Kühlkörper **K0.12 F**,  $V_L = 50$  l/s.  
Maximum allowable cooling medium temperature  $t_A$  at **forced** two-sided cooling,  
heatsink type **K0.12 F**,  $V_L = 50$  l/s.



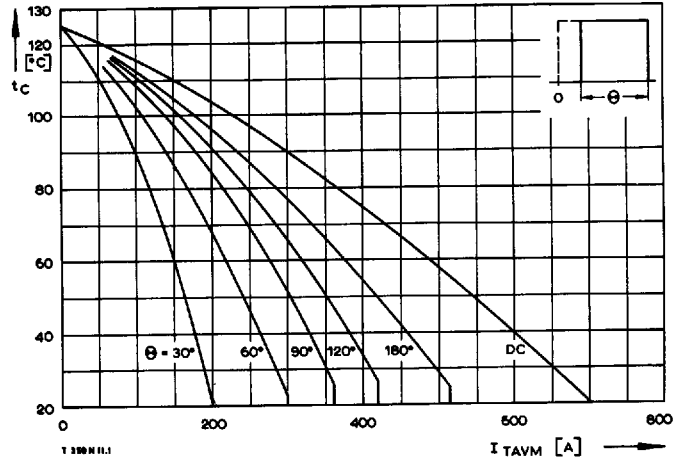
Bild/Fig. 7  
 Transienter innerer Wärmewiderstand  $Z_{(th)JC}$   
 Transient thermal impedance, junction to case,  $Z_{(th)JC}$   
 - - - - - anodenseitige Kühlung/anode sided cooling  
 ————— beidseitige Kühlung/two-sided cooling



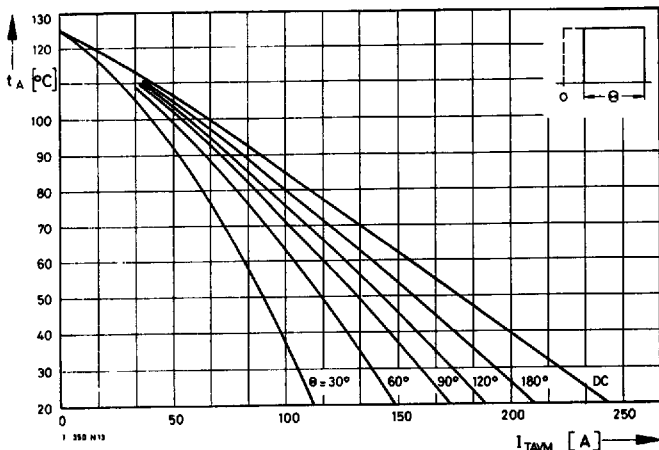
Bild/Fig. 8  
 Durchlaßverlustleistung  $P_T$ /On-state power loss  $P_T$   
 Parameter: Stromflußwinkel  $\Theta$ /current conduction angle  $\Theta$



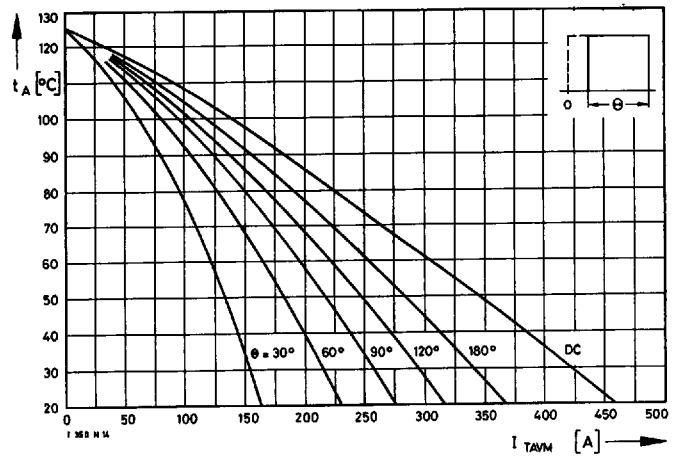
Bild/Fig. 9  
 Höchstzulässige Gehäusetemperatur  $t_c$  bei beidseitiger Kühlung  
 Maximum allowable case temperature  $t_c$  at two-sided cooling



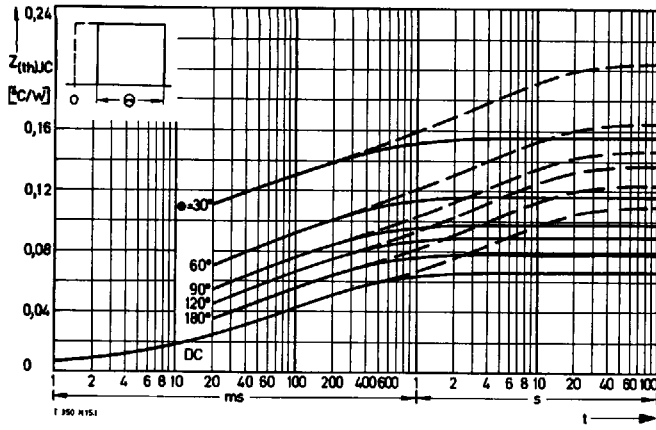
Bild/Fig. 10  
 Höchstzulässige Gehäusetemperatur  $t_c$  bei anodenseitiger Kühlung  
 Maximum allowable case temperature  $t_c$  at anode sided cooling



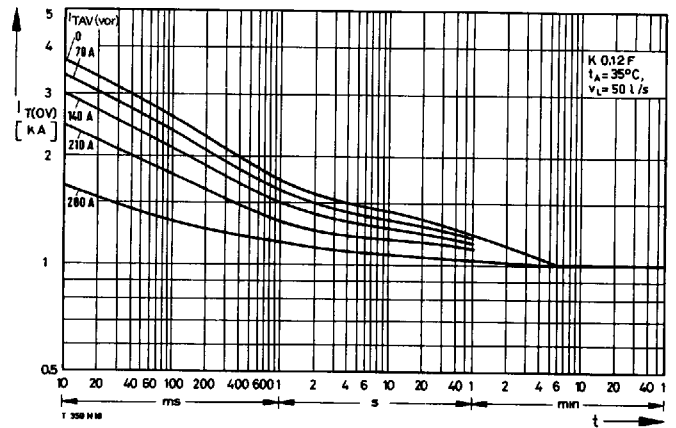
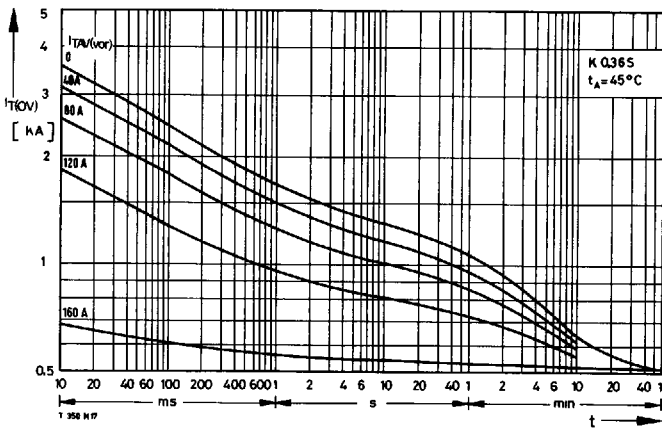
Bild/Fig. 11  
 Höchstzulässige Kühlmitteltemperatur  $t_A$  bei beidseitiger Luftselbstkühlung,  
 Kühlkörper K0,36 S.  
 Maximum allowable cooling medium temperature  $t_A$  at natural two-sided cooling,  
 heatsink type K0.36 S.



Bild/Fig. 12  
 Höchstzulässige Kühlmitteltemperatur  $t_A$  bei verstärkter beidseitiger Luftkühlung,  
 Kühlkörper K0,12 F,  $V_L = 50$  l/s.  
 Maximum allowable cooling medium temperature  $t_A$  at forced two-sided cooling,  
 heatsink type K0.12 F,  $V_L = 50$  l/s.

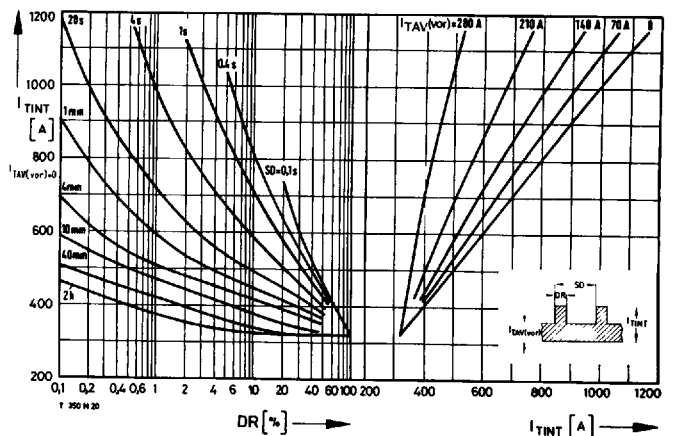
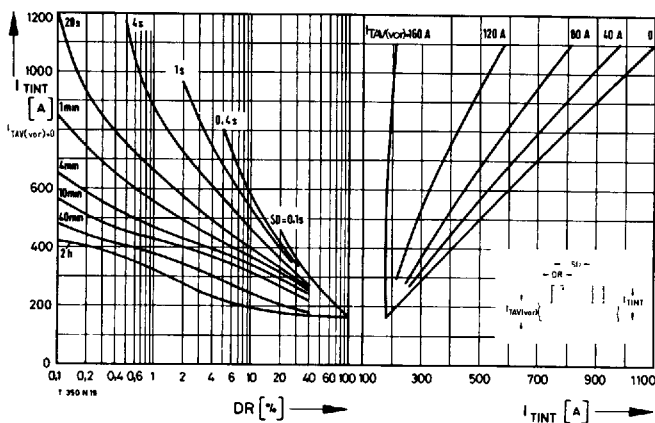


Bild/ Fig. 13  
 Transienter innerer Wärmewiderstand  $Z_{(th)JC}$   
 Transient thermal impedance, junction to case,  $Z_{(th)JC}$   
 - - - - anodenseitige Kühlung/anode sided cooling  
 ——— beidseitige Kühlung/two-sided cooling



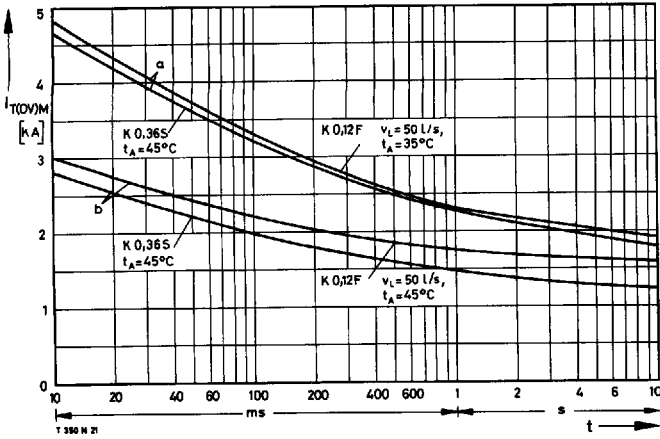
Bild/ Fig. 14  
 Überstrom  $I_{T(OV)}$  bei beidseitiger **Luftselbstkühlung**,  $t_A = 45^\circ\text{C}$ ,  
 Kühlkörper **K0,36 S**.  
 Overload on-state current  $I_{T(OV)}$  at **natural two-sided cooling**,  $t_A = 45^\circ\text{C}$ ,  
 heatsink type **K0,36 S**.  
 Parameter: Vorlaststrom/pre-load current  $I_{TAV(vor)}$

Bild/ Fig. 15  
 Überstrom  $I_{T(OV)}$  bei **verstärkter** beidseitiger Luftkühlung,  $t_A = 35^\circ\text{C}$ ,  
 Kühlkörper **K0,12 F**,  $V_L = 50 \text{ l/s}$ .  
 Overload on-state current  $I_{T(OV)}$  at **forced two-sided cooling**,  $t_A = 35^\circ\text{C}$ ,  
 heatsink type **K0,12 F**,  $V_L = 50 \text{ l/s}$ .  
 Parameter: Vorlaststrom/pre-load current  $I_{TAV(vor)}$

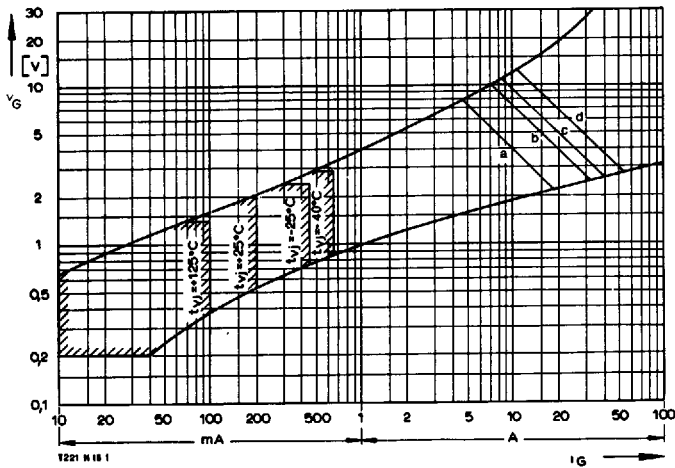


Bild/ Fig. 16  
 Höchstzulässiger Durchlaßstrom  $I_{TINT}$  bei Aussetzbetrieb und beidseitiger  
**Luftselbstkühlung**,  $t_A = 45^\circ\text{C}$ , Kühlkörper **K0,36 S**.  
 Limiting on-state current  $I_{TINT}$  during intermittent operation at **natural two-sided**  
 cooling,  $t_A = 45^\circ\text{C}$ , heatsink type **K0,36 S**.  
 Parameter: Spieldauer/cycle duration SD  
 Vorlaststrom/pre-load current  $I_{TAV(vor)}$

Bild/ Fig. 17  
 Höchstzulässiger Durchlaßstrom  $I_{TINT}$  bei Aussetzbetrieb und **verstärkter**  
 beidseitiger Luftkühlung,  $t_A = 35^\circ\text{C}$ , Kühlkörper **K0,12 F**,  $V_L = 50 \text{ l/s}$ .  
 Limiting on-state current  $I_{TINT}$  during intermittent operation at **forced two-sided**  
 cooling,  $t_A = 35^\circ\text{C}$ , heatsink type **K0,12 F**,  $V_L = 50 \text{ l/s}$ .  
 Parameter: Spieldauer/cycle duration SD  
 Vorlaststrom/pre-load current  $I_{TAV(vor)}$

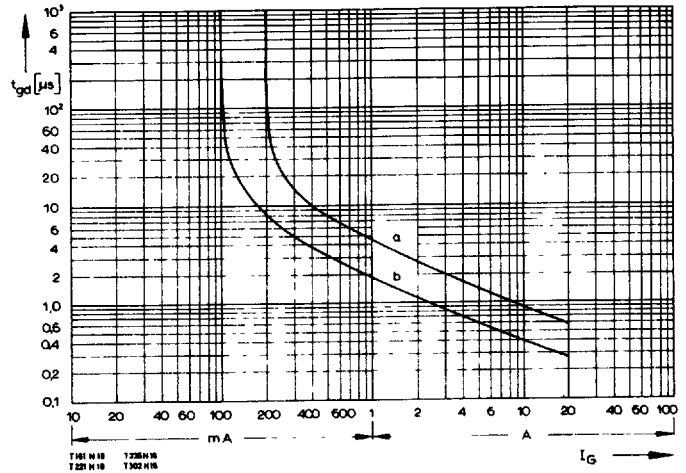


Bild/Fig. 18  
 Grenzstrom  $I_{T(OV)M}$  bei beidseitiger Kühlung, Kühlkörper K0,36S und K0,12F,  
 $U_{RM} = 0,8 U_{RRM}$ .  
 Limiting overload on-state current  $I_{T(OV)M}$  at two-sided cooling,  
 heatsink type K0,36S and K0,12F,  $U_{RM} = 0,8 U_{RRM}$ .  
 a – Belastung aus Leerlauf/current surge under no-load conditions  
 b – Belastung nach Betrieb mit Dauergrenzstrom  $I_{TAVM}$ /  
 current surge occurs during operation at limiting mean on-state current  
 rating  $I_{TAVM}$

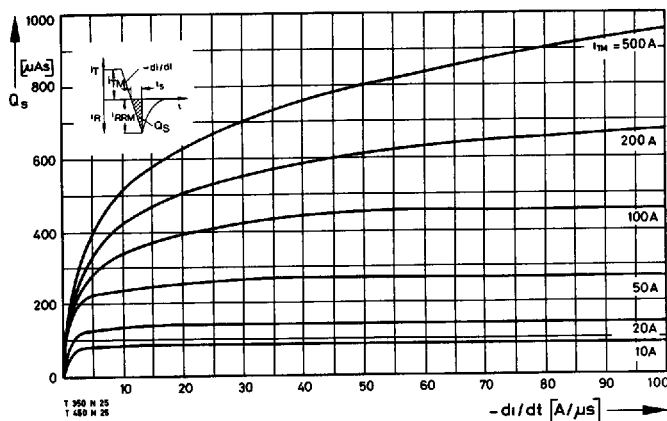


Bild/Fig. 19  
 Zündbereich und Spitzensteuerleistung bei  $v_D \geq 6 V$ .  
 Gate characteristic and peak gate power dissipation at  $v_D \geq 6 V$ .

Parameter:	a	b	c	d
Steuerimpulsdauer/Pulse duration $t_g$ [ms]	10	1	0,5	0,1
Höchstzulässige Spitzensteuerleistung/ Maximum allowable peak gate power [W]	40	80	100	150



Bild/Fig. 20  
 Zündverzögerung  $t_{gd}$  bei  $i_{TM} = 100 A$ ,  $t_{vj} = 25^\circ C$ .  
 Gate controlled delay time  $t_{gd}$  at  $i_{TM} = 100 A$ ,  $t_{vj} = 25^\circ C$ .  
 a – äußerster Verlauf/limiting characteristic  
 b – typischer Verlauf/typical characteristic



Bild/Fig. 21  
 Nachlaufadung  $Q_s$  in Abhängigkeit von der abkommütierenden Stromsteilheit  $-di/dt$  bei  $t_{vj} = 125^\circ C$ .  
 Der angegebene Verlauf wird von 90% aller Thyristoren nicht überschritten.  
 Lag charge  $Q_s$  versus the rate of decay of the forward on-state current  $-di/dt$  at  $t_{vj} = 125^\circ C$ .  
 These curves are valid for 90% of all thyristors.